

3
4 Д.А.Болдырев (Исследовательский центр ОАО «АВТОВАЗ», г. Тольятти),
5 Н.В.Чайкина (МГТУ им. Баумана, Москва)
6
7
8

9 Особенности графитизирующего модифицирования 10 высокопрочного чугуна смесевыми модификаторами

11 Механизм взаимодействия мелкодисперсных ча-
12 стиц модификатора с расплавом заключается в сле-
13 дующем. Захват или отталкивание частиц зависит от
14 смачиваемости их расплавом и скорости роста кри-
15 сталлов матрицы. Так, например, для частиц диаметром
16 5 мкм критическая скорость их роста составляет
17 $V_{kp} \approx 3 \times 10^{-2}$ мм/с. Смачиваемые частицы обычно зах-
18 ватываются растущими кристаллами даже при весь-
19 ма небольшой скорости роста, несмачиваемые – от-
20 талкиваются фронтом кристаллизации. При скорости
21 выше критической даже несмачиваемые частицы зах-
22 ватываются кристаллами. Захват и отталкивание час-
23 тиц во многом определяются межфазной свободной
24 энергией и свойствами пограничного слоя расплава у
25 растущего кристалла. Смачиваемые частицы твердой
26 фазы притягиваются кристаллами и захватываются в
27 процессе кристаллизации расплава, несмачиваемые –
28 отталкиваются молекулярными силами расклиниваю-
29 щего давления. Для захвата частиц жидкости и пузырь-
30 ков газа требуется значительно более высокая ско-
31 рость роста кристаллов. Расчет¹ показал, что для твер-
32 дых включений радиусом 5 мкм и $V_{kp} \approx 10^{-3}$ мм/с, что
33 примерно на порядок меньше скорости роста кристал-
34 ллов в центральной зоне крупного слитка (то есть при
35 небольшом значении V_{kp}), практически все твердые
36 частицы в слитке будут захватываться растущими кри-
37 сталлами. Следовательно, главной задачей является
38 получение частиц вблизи фронта кристаллизации в
39 твердом виде. При выборе материала затравок для ус-
40 корения кристаллизации и управления этим процессом
41 большое значение имеет принцип ориентационного и
42 размерного соответствия, то есть вводимые искусствен-
43 ные зародыши должны обладать той же кристаллогра-
44 фической структурой и близкими параметрами решетки,
45 что и жидкий металл, в который они присаживаются².

46 Такими частицами являются составляющие сме-
47 севого мелкодисперсного модификатора – специаль-
48 ный малозольный графит и кремний тонкого помола.
49 В данной работе проведено комплексное исследова-
50 ние усвоения смесевых мелкодисперсных модифи-
51 каторов при ковшовом (МК21) и внутриформенном мо-
52 дифицировании (МКМг19) и их влияние на структуру и
53 свойства высокопрочного чугуна в отливках.

54 При проведении эксперимента объектом исследо-
55 вания служила отливка детали 12101–3103015 «Сту-
56 пица переднего колеса» из высокопрочного чугуна
57 марки ВЧ50.

58 Для проведения эксперимента в печи был приго-
59 товлен чугун следующего химического состава, %: 3,60
60 С, 1,97 Si, 0,42 Mn, 0,019 P, 0,007 S, 0,045 Cr, 0,58
61 Ni, 0,28 Cu, 0,015 Sn. Температура расплава чугуна в
62 печи – 1490°С.

63 В ковш вместимостью 1200 кг вместе со сферо-
64 идизатором – «тяжелой» лигатурой NiMg15Ce0,5 в
65 количестве 4,8 кг, для проведения графитизирующего
66 модифицирования была введена навеска модифи-
67 катора МК21 массой 3 кг. После этого ковш был пере-
68 дан на заливочную линию и взята ковшовая проба ме-
69 талла на химический анализ, получены следующие ре-
70 зультаты: 3,61 С, 1,98 Si, 0,048 Mg.

71 Температура начала разливки ковша – 1460°С
72 (норматив 1440–1460°С). Из опытного ковша сразу
73 после замера температуры были залиты 4 формы (32
74 отливки): первая форма – без добавок, в стояк второй
75 формы засыпали 65 г смесевого модификатора
76 МКМг19 (0,1% от металлоемкости формы), в стояк
77 третьей формы – 130 г смесевого модификатора
78 МКМг19 (0,2% от металлоемкости формы), в заливоч-
79 ную чашу четвертой формы поместили кусок ФС75л3.

80 Анализ микроструктуры и механические свойства
81 чугуна опытных отливок приведены в таблице. Микро-
82 структура отливок показана на рис. 1–6. Зависимости
83 глубины отбеленного слоя и твердости по Бринеллю от
84 расхода материала МКМг19 приведены на рис. 7 и 8.

85 Анализируя микроструктуру материала отливок
86 необходимо отметить следующее:

1. Металлическая основа в первой отливке полност-
87 тью представлена ледебуритом, что показывает
88 практически полное отсутствие графитизирующе-
89 го эффекта при вводе материала МК21 на днище
90 ковша. Графит в отливке представлен типом ОВ –
91 шаровидной неправильной формой, что объясня-
92 ется достаточной для формирования глобулей
93 концентрацией остаточного магния при недоста-
94 точном количестве центров зарождения графита,
95 в результате чего нарушаются их равномерный
96 объемный рост.
2. Степень сфероидизации графита во всех отлив-
97 ках – 90% при практически одинаковых размерах
98 графитных включений – №5. Это может быть свя-
99 зано с ролью высокодисперсного графита в со-
100 здании и активизации роста центров зарождения
101 графита в чугуне.
3. При введении в стояк формы 0,1% (65 г) матери-

1 Чернов А.А., Темкин Д.Е., Мельников А.М. Теория захвата твердых включений при росте кристаллов из расплава // Кристаллография.– 1976.– т. 21.– №4.– С. 652–660.

2 Ершов Г.С., Бычков Ю.Б. Физико-химические основы рационального легирования сталей и сплавов. М.: Металлургия, 1982. – 360 с.

Исследуемые параметры

Отливка	Микроструктура		$HB_{5/750/10}$	$\sigma_b, \text{ кгс}/\text{мм}^2$	$\delta, \%$
	Форма, распределение и размеры графитовых включений	Металлическая основа			
1	Тип ОВ №5; ССГ 90%	Ледебурит	321–341	—	—
2	Тип ОА, ОВ №5; ССГ 90%	Перлит пластинчатый, феррита 20%, цементит на глубину до 8 мм (10%)	239–255	79	9,6
3	Тип ОА, ОВ №5; ССГ 90%	Перлит пластинчатый – 70%, феррита 30%	249–255	78	8,8
4	Тип ОА, ОВ №5; ССГ 90%	Перлит пластинчатый – 60%, феррита 40%	217	74	10
Требования по нормали FIAT-ВАЗ 52215	Графит шаровидный, ССГ не менее 80%	Металлическая основа – феррито-перлитная, цементит до 5%		170–210	



Рис.1. Отливка №1. Графит шаровидный, тип ОВ №5, x100

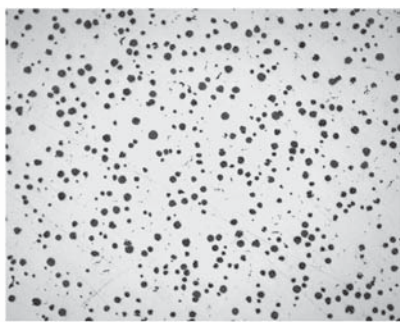


Рис.2. Отливка №2. Графит шаровидный, типы ОА, ОВ №5, x100



Рис.3. Отливки №3 и №4. Графит шаровидный, типы ОА, ОВ №5, x100

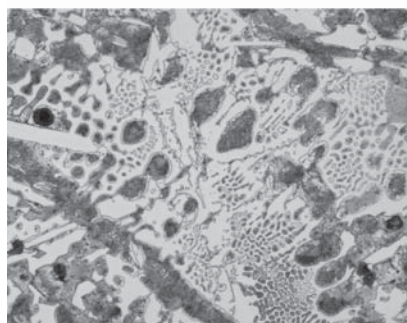


Рис. 4. Отливка №1. Металлическая основа – ледебурит (травление – нитал), x400

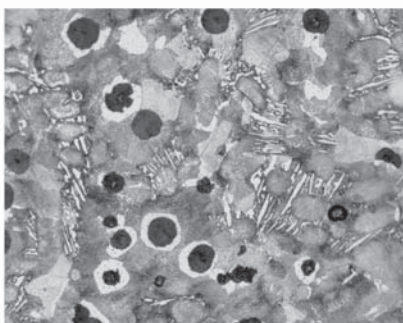


Рис. 5. Отливка №2. Металлическая основа – перлит пластинчатый, феррит, цементит (травление – нитал), x400

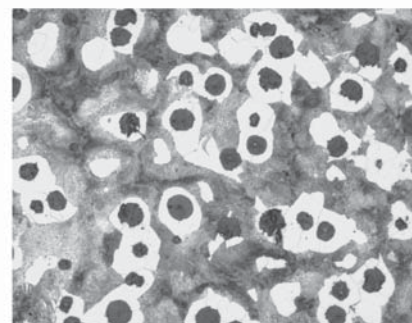


Рис. 6. Отливки №3 и №4. Металлическая основа – перлит пластинчатый, феррит (травление – нитал), x400

ала МКМг19 отбел уменьшился со сквозного до 10% на глубину 8 мм от поверхности. Одновременное присутствие в структуре чугуна вместе с перлитом феррита и цементита указывает на недомодифицирование чугуна, так как при оптимальном количестве модификатора углерод пере распределяется и участвует в формировании пер

литной структуры.
4. Увеличение расхода материала МКМг19 в форму до 0,2% (130 г) позволило полностью устраниТЬ свободный цементит, следовательно, количества модификатора оказалось достаточным для полноценной обработки расплава чугуна. Однако твердость отливки осталась на том же уровне, что

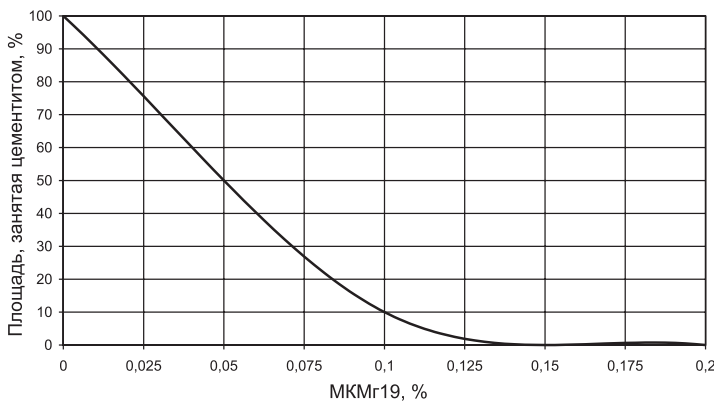


Рис. 7. Количество цементита в структуре чугуна (%) в зависимости от расхода МКМг19 (%)

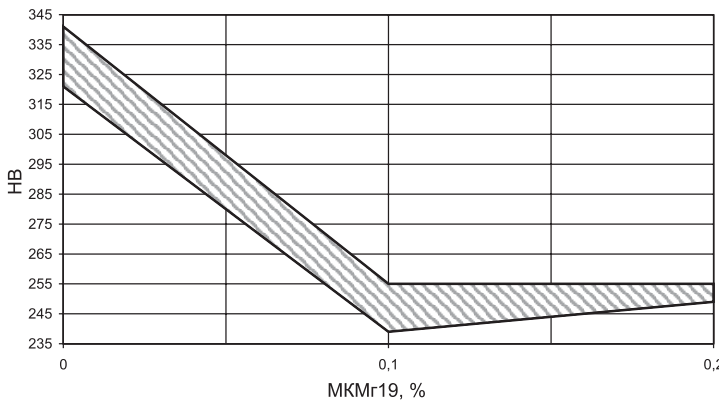


Рис. 8. Зависимость твердости по Бринеллю материала отливки (HB) от расхода МКМг19 (%)

и у отливки, залитой с 0,1% МКМг19. По результатам определения механических свойств можно заключить, что свойства чугуна в отливке соответствуют марке ВЧ70.

5. Использование для вторичного модифицирования

куска ФС75л3 позволило получить структуру чугуна без цементита с несколько увеличенным содержанием феррита по сравнению со структурой отливки, залитой с 0,2% МКМг19.

Таким образом, вторичное модифицирование куском ФС75л3 и МКМг19 (при расходе 0,15% и выше) позволяет устраниТЬ отбел в структуре отливки (рис. 5). Однако смесевой модификатор МКМг19, в отличие от куска ФС75л3, свыше определенного количества (в данном случае – свыше 0,1%) вызывает снижение твердости чугуна только до определенного уровня (рис. 6).

Рекомендации

Учитывая результаты химического анализа ковшовой пробы, следует отметить неудовлетворительное усвоение МК21 в ковше при его простом размещении на днище ковша, этот способ является неприемлемым для ковшового графитизирующего модифицирования высокопрочного чугуна. Следовательно, можно считать, что модифицирование было только поздним – в стояке формы. Позднее графитизирующее модифицирование при расходе материала до 0,2% оказалось недостаточно эффективным для получения марки ВЧ50, так как не обеспечило снижение твердости чугуна, однако позволило получить механические свойства, соответствующие марке ВЧ70. Дальнейшее повышение расхода модификатора вызывает закупоривание стояка формы и препятствует проникновению расплава чугуна в форму.

Таким образом, для получения высоко-прочного чугуна марки ВЧ70 может быть рекомендована следующая схема модифицирования: сфероидализирующая ковшовая обработка + последующее введение в стояк формы 0,2% модификатора МКМг19.

Е.Н.Еремин (д-р техн. наук), Ю.О.Филиппов, А.Е.Еремин (Омский государственный технический университет, Омск)

Электрошлаковое кокильное литье изделий из жаропрочных сплавов

Литейные жаропрочные никелевые сплавы широко используются для изготовления деталей ответственного назначения, в том числе некоторых видов протяжек, штампов, ножей горячей обработки металлов и другого инструмента, работающего при высоких температурах.

Основным процессом получения отливок из жаропрочных сплавов является литье по выплавляемым моделям в горячие керамические формы в вакуумных индукционных печах, что обуславливает очень большую трудоемкость изготовления изделий и крайне низкую

рентабельность производства. В то же время плохие литейно-технологические свойства таких сплавов и высокие требования к качеству отливок неизбежно влекут за собой низкий выход годного и высокий процент брака. Отходы литейного производства в виде элементов литниково-питающих систем и забракованных отливок могут быть использованы в качестве шихты далеко не полностью из-за специфики плавки в вакуумных индукционных печах и требований ТУ. Большая часть отходов литейного производства составляют безвозвратные потери производства, с чем едва ли